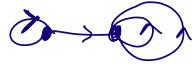


L'algèbre de Lie BPS

Bogomolnyi-Prasad-Sommerfield, théorie des cordes.  
 joint work with Ben Davison and Sebastian Schlegel Mejia.

$$Q = (Q_0, Q_1) \quad \text{carquois}$$

↓      ↓  
symmets      antets



boucles autorisées.

$s, t : Q_1 \rightarrow Q_0$  source et but

Notation :  $i \xrightarrow{\alpha} j \in Q_1$  pour  $\alpha \in Q_1$  t.q.  $s(\alpha) = i, t(\alpha) = j$

$k$  un corps. Une représentation de  $Q$  sur  $k$  est

$V_i, i \in Q_0$   $k$ -ev  
 $V_i \xrightarrow{\alpha} V_j$  pour  $i \xrightarrow{\alpha} j \in Q_1$ .

recteur dimension :  $(\dim V_i)_{i \in Q_0} \in \mathbb{N}^{Q_0}$

$V \in \text{Rep}_Q(k)$  = catégorie des représentations de  $Q$  sur  $k$ , dimension finie

$\frac{!}{\dim V}$

$kQ$  = algèbre des chemins de  $Q$  : une  $k$ -base est donnée par les chemins orientés dans  $Q$ . Le produit est la concaténation des chemins, le langage des représentations de  $Q$   $\leftrightarrow kQ$ -modules.  $(e_i M)_{i \in Q_0} \xleftarrow{\alpha} M_{i \in Q_0}$

Fixons  $d$ . Les représentations de  $Q$  d'ordre  $d$  sur  $k$  sont encodées par l'espace

$$X_{Q,d} = \bigoplus_{i \xrightarrow{\alpha} j \in Q_1} \text{Hom}_k(k^{di}, k^{dj})$$

La redondance est donnée par l'action du groupe algébrique

$$GL_d := \prod_{i \in Q_0} GL_{di}$$

$$(g_i)_{i \in Q_0} \cdot (x_\alpha)_{\alpha \in Q_1} := (g_i x_{\alpha} g_i^{-1})_{\alpha \in Q_1}$$

$\text{Rep}_Q(k)[d]/_{\text{iso}} \xleftrightarrow{\cong} \text{orbites de } GL_d \text{ dans } X_{Q,d} = \frac{X_{Q,d}}{GL_d}$   
 ↑  
 ensembliste.

V. Kac, ~1980 : comptons les représentations de  $\mathbb{Q}$  sur  $\mathbb{F}_q$  pour tout  $\mathbb{Q}$  et tout

$$q, \text{i.e. } \#\mathcal{X}_{\mathbb{Q},d}/GL_d$$

Échauffement :  $\mathbb{Q} = \bullet$  1 rep.  $\forall d \in \mathbb{N}$   
 $\mathbb{Q} = \textcircled{D}$  matrices  $d \times d$  à conjugaison près.

$$\mathbb{L} = \mathbb{L} \rightarrow q$$

d'quelque : plus difficile

$$\mathbb{Q} = \textcircled{D}(g) \quad d=1 \quad q^{\frac{g}{2}}.$$

$$\mathbb{Q} = \textcircled{D} \rightarrow \textcircled{D} \quad d=1 \quad 2q^3.$$

$$\mathbb{Q} = \textcircled{D} \rightarrow \textcircled{D} \text{ Kronecker. } d+2 \quad A_{\mathbb{Q}, d+1}(q) = \#\mathbb{P}^1(\mathbb{F}_q) = q+1.$$

On obtient des polynômes en  $q$ , à coefficients  $\geq 0$ .

Les représentations de  $\mathbb{Q}$  sur  $\mathbb{F}_q$  peuvent être plus ou moins élémentaires :

arbitraires  $\supset$  indécomposables  $\supset$  absolument indécomposables.

### Fonctions de Comptage

$$M_{\mathbb{Q},d}(q) = \#\left\{ \text{isoclasses de représentations de } \mathbb{Q} \text{ sur } \mathbb{F}_q \text{ de vecteur dimension } d. \right\}$$

$$I_{\mathbb{Q},d}(q) = \#\left\{ \dots \text{ représentations indécomposables} \dots \right\} \quad M \neq A \oplus B \text{ avec } A, B \neq 0$$

$$A_{\mathbb{Q},d}(q) = \#\left\{ \dots \text{ représentations absolument indécomposables} \dots \right\}$$

$M \nmid q \quad M \otimes \bar{q}$  indécomposable.

Théorème (Kac, ~1980)  $\mathcal{Q}$  sans boucles.

\*  $M_{\mathcal{Q},d}, I_{\mathcal{Q},d}, A_{\mathcal{Q},d} \in \mathbb{Q}[q]$ .

\* indépendants de l'orientation

\* invariance sous l'action du groupe de Weyl du carquois [action de tresses sur groupes quantiques / algèbres enveloppantes]

Ces fonctions sont reliées les unes aux autres :

$$(M_{\mathcal{Q},d})_d \rightsquigarrow (I_{\mathcal{Q},d})_d$$

Krull-Schmidt

[toute représentation est somme directe d'inécomposable de façon essentiellement unique].

$$(I_{\mathcal{Q},d})_d \rightleftarrows (A_{\mathcal{Q},d})_d$$

descendante

galoisienne

associée à  $\mathcal{Q}$  [par générateurs et relations]

$\mathcal{Q} \leadsto A = (\alpha_{ij})_{i,j \in Q_0}$  matrice de Cartan symétrique

$$\alpha_{ij} = 2\delta_{ij} - \#\{i \xrightarrow{\text{arc}} j \in Q_1\} - \#\{j \xrightarrow{\text{arc}} i \in Q_1\}$$

$\mathfrak{g}_{\mathcal{Q}}$  est engendrée par  $e_i, f_i, h_i \quad i \in Q_0$  avec les relations

$$*[e_i, f_j] = \delta_{ij} h_i$$

$$*[h_i, e_j] = \alpha_{ij} e_j$$

$$*[h_i, f_j] = -\alpha_{ij} f_j$$

$$*[h_i, h_j] = 0$$

$$*\text{ad}(e_i)^{1-\alpha_{ij}}(e_j) = 0$$

$$*\text{ad}(f_i)^{1-\alpha_{ij}}(f_j) = 0$$

Propriétés de base : \* Si  $\mathcal{Q}$  est de type fini A, D, E,  $\mathfrak{g}_{\mathcal{Q}}$  est l'algèbre de Lie semi-simple correspondante ( $\Rightarrow \dim_{\mathbb{Q}} \mathfrak{g}_{\mathcal{Q}}$ )

\* Dans tous les autres cas,  $\dim_{\mathbb{Q}} \mathfrak{g}_{\mathcal{Q}} = +\infty$

\*  $\mathcal{O}_Q = \bigoplus_{d \in \mathbb{Z}^Q_0} \mathcal{O}_Q[d]$  en assignant à

le degré  $(\varepsilon_{ji})_{j \in Q_0}$   
et à  $f_j$   $(-\varepsilon_{ji})_{j \in Q_0}$ .

\* décomposition triangulaire  $\mathcal{O}_Q = \mathcal{R}_Q^- \oplus \mathcal{I}_Q \oplus \mathcal{R}_Q^+$

Conjectures (Kac, 1980)

(f) (h) (w)

① Terme constant :  $A_{Q,d}(0) = \dim \mathcal{O}_Q[d]$  [Q sans boucles]  
(Théorème Haesel 2008)

② Positivité :  $A_{Q,d} \in \mathbb{N}[q]$  (Théorème [Q arbitraire]  
Haesel-Letellier-Rodriguez-Villegas 2012).

Si Q est de type fini ADE, très bien connu :

\* multiplicité 1 des espaces de poids

\* Théorème de Gabriel :  $\mathbb{Z}^{\text{index de } \mathcal{I}/\mathcal{R}} \xrightarrow{\sim} \text{racines de } \mathcal{O}_Q$   
indépendent du corps de base

Nouveau problème (Bozec-Schiffmann) (Supposé par ces conjectures)

Définir une algèbre de Lie  $\mathbb{Z}^{Q_0} \times \mathbb{Z}$ -graduée,  $\tilde{\mathcal{R}}_Q$ , telle que

$$\sum_{m \in \mathbb{Z}} \dim_{\mathbb{C}} \tilde{\mathcal{R}}_Q[d, m] q^m = A_{Q,d}(q) \cdot \prod_{l \in \mathbb{N}^{Q_0}}$$

+ conditions : \*  $\mathcal{R}_Q^+ = \bigoplus_{d \in \mathbb{N}^{Q_0}} \tilde{\mathcal{R}}_Q[d, 0]$

\*  $\tilde{\mathcal{R}}_Q$  est la partie positive

d'une algèbre de Kac-Moody généralisée (au sens de Borcherds)  $\tilde{\mathcal{O}}_Q$ .  
(définie plus tard)

+ Question de Okounkov (enveloppes stables et Yangiens)  
raffinée. [ Okounkov pose  $q=1$  ].

$\mathcal{Q}$  casqueur arbitraire.

Théorème (DHS-2023) : L'algèbre de Lie BPS de l'algèbre  
préprojective  $\Pi_{\mathcal{Q}}$  de  $\mathcal{Q}$  répond à ce problème.

Maintenant, j'explique une construction de cette algèbre de Lie  
 $\hookrightarrow$  construction géométrique

Je dois maintenant introduire de nouveaux objets.

① Algèbres de Hall cohomologiques

② Algèbre BPS associative

③ Algèbres GKM.

④ Le caractère et la structure de l'algèbre BPS.

① Algèbres de Hall cohomologiques

Champs et espaces de modules

algèbre préprojective

$$Q \rightarrow \bar{Q} = (Q_0, \bar{Q}_1)$$

$$\bar{Q}_1 = Q_1 \sqcup Q_1^*$$

$$i \in Q_1 \xrightarrow{i \sim j} j \xrightarrow{j \sim i} i \in Q_1^*$$

$$C\bar{Q} \ni f = \sum_{d \in Q_1} [x_d, x_d^*] \quad \text{relation préprojective.}$$

$$\Pi_Q = C\bar{Q}/(f) \quad \text{algèbre préprojective.}$$

$$d \in Q_0, \mu_d: X_{\bar{Q}, d} \rightarrow \text{objets} \quad \text{app moment}$$

$$(x_\alpha, x_\alpha^*)_{\alpha \in Q_1} \mapsto \sum_{\alpha \in Q_1} [x_\alpha, x_\alpha^*]$$

En première approximation

$$H_{\Pi_Q, d} := [\mu_d^{-1}(0)/GL_d] \quad \begin{array}{l} \text{champ quotient,} \\ \text{champ algébrique} \end{array}$$

Paramétrise tous les objets de  $\text{Rep}^{\text{GIT}}_{\Pi_Q}$

$$M_{\Pi_Q, d} := [\mu_d^{-1}(0) // GL_d] \quad \text{GIT quotient}$$

Paramétrise les objets semi-simples.

(CoHA) technologie  
 pour étudier la cohomologie des espaces de modules d'objets de catégories carquois Catégories  
 en enrichissant la structure.

$\mathcal{D}_c^+(\mathcal{M}_{\mathbb{T}\mathbb{Q}})$  = catégorie dérivée constructible de  $\mathcal{M}_{\mathbb{T}\mathbb{Q}}$ .

$\begin{array}{ccc} \psi & & \\ \mathcal{F} & \ni & \mathcal{M}_{\mathbb{T}\mathbb{Q}} = \bigsqcup_{a \in A} F_a & \text{tq} & \mathcal{F}|_{F_a} \text{ est localement} \\ & & & & \text{constant, à fibre} \\ & & & & \text{un } \mathbb{Q}\text{-er de dim} \\ & & & & \text{finie.} \end{array}$

Structure monoidale :  $\mathcal{F} \otimes \mathcal{G} := \oplus_*(\mathcal{F} \boxtimes \mathcal{G})$ .

Coha :

- \* Procédé naturel donnant une algèbre associative.
- \* Difficile à étudier en général!

$$\begin{array}{ccccc}
 & & \text{Exact}_{\mathbb{T}\mathbb{Q}} & & \\
 & \swarrow q & & \searrow p & \\
 \mathcal{M}_{\mathbb{T}\mathbb{Q}} \times \mathcal{M}_{\mathbb{T}\mathbb{Q}} & & \text{"quasi-lisse"} & & \mathcal{M}_{\mathbb{T}\mathbb{Q}} \\
 \downarrow JH \times JH & & & & \downarrow JH \\
 \mathcal{M}_{\mathbb{T}\mathbb{Q}} \times \mathcal{M}_{\mathbb{T}\mathbb{Q}} & \xrightarrow{\oplus} & & & \mathcal{M}_{\mathbb{T}\mathbb{Q}} \\
 & \searrow \text{pt} & & \swarrow \pi & 
 \end{array}$$

$m = p_* q^*$  donne un produit sur  $JH \times \mathcal{D}_{\mathcal{M}_{\mathbb{T}\mathbb{Q}}}^{\text{vert}}$   $\hookrightarrow \mathcal{D}_c^+(\mathcal{M}_{\mathbb{T}\mathbb{Q}})$ .

$\pi_* A_{\mathbb{T}\mathbb{Q}} = H^{\text{BM}}(\mathcal{M}_{\mathbb{T}\mathbb{Q}})$  est une algèbre associative.

## ② L'algèbre BPS

$$A_{\mathbb{M}_{\mathbb{Q}}} \in \mathcal{D}_c^+(\mathcal{M}_{\mathbb{M}_{\mathbb{Q}}})$$

Pour découper les objets de  $\mathcal{D}_c^+(\mathcal{M}_{\mathbb{M}_{\mathbb{Q}}})$ , on utilise des t-structures.  
 \* On a la t-structure standard : elle permet de tronquer les complexes :

$$\dots \rightarrow \mathcal{F}^0 \xrightarrow{d^0} \mathcal{F}^1 \xrightarrow{d^1} \mathcal{F}^2 \xrightarrow{d^2} \dots \rightarrow \mathcal{F}^i \xrightarrow{d^i} \mathcal{F}^{i+1} \rightarrow \dots$$

$$\begin{matrix} \uparrow \mathcal{C}^{\leq i} & \uparrow \\ \mathcal{F}^0 \rightarrow \mathcal{F}^1 \rightarrow \dots \rightarrow \ker d^i \rightarrow 0 \rightarrow \dots \end{matrix}$$

\* On a la t-structure perverse. Différente troncation des complexes.  
 (Beilinson-Bernstein-Deligne-Gabber ~1980)

$$\begin{aligned} \mathcal{B}\mathcal{P}\mathcal{Y}_{\mathbb{M}_{\mathbb{Q}}} &:= \text{partie de } A_{\mathbb{M}_{\mathbb{Q}}} \text{ en degré 0} \\ &= \mathcal{P}\mathcal{H}^0(A_{\mathbb{M}_{\mathbb{Q}}}). \end{aligned}$$

Prop: m induit une multiplication sur  $\mathcal{B}\mathcal{P}\mathcal{Y}_{\mathbb{M}_{\mathbb{Q}}} \in \mathrm{Perf}(\mathcal{M}_{\mathbb{M}_{\mathbb{Q}}})$

Démonstration:  $\mathcal{P}\mathcal{H}^i(A_{\mathbb{M}_{\mathbb{Q}}}) = 0$  pour  $i > 0$

$$\pi_*: \mathcal{M}_{\mathbb{M}_{\mathbb{Q}}} \rightarrow \mathrm{pt}$$

$\mathcal{B}\mathcal{P}\mathcal{Y}_{\mathbb{M}_{\mathbb{Q}}} := \pi_* \mathcal{B}\mathcal{P}\mathcal{Y}_{\mathbb{M}_{\mathbb{Q}}}$  est une algèbre associative au sens classique.

$$\begin{aligned} &\cap \text{sous-algèbre}, \\ &\pi_* A_{\mathbb{M}_{\mathbb{Q}}} \end{aligned}$$

### (3) Algèbres de Lie généralisées (d'après Borel et al)

Ingédients : •  $\mathfrak{g}$   $\mathbb{Q}$ -ev avec  $(-, -)$  forme bilinéaire

- $(\alpha_i)_{i \in \Phi^+} \subset \mathfrak{g}$  ensemble dénombrable de "racines positives"

$$(\alpha_i, \alpha_j) \in \mathbb{Z}_{\leq 0} \text{ si } i+j,$$

$$(\alpha_i, \alpha_i) \in 2\mathbb{Z}_{\leq 1} \quad \forall i \in \Phi^+.$$

- $\mathfrak{g} = \bigoplus_{i \in \Phi^+} \mathfrak{g}_i$  espace  $\Phi^+$ -gradué,  $\mathbb{Z}$ -gradué  
ensemble de "generateurs de Chevalley positifs"

Construction:  $\mathfrak{o}_{\mathfrak{g}} =$  algèbre de Lie libre engendrée par  $\mathfrak{g} \oplus \mathfrak{g}^\vee$  avec  $\mathfrak{g}^\vee$  espace dual

relations

$$*[h, h'] = 0 \quad \forall h, h' \in \mathfrak{g}$$

$$*[h, d_i] = \pm (\alpha_i, \alpha_i) d_i \quad d_i \in \mathfrak{g}_i^\vee$$

$$*[d_i, d_j^\vee] = \delta_{ij} d_j^\vee (d_i) h_i$$

$$+\text{ relations de Serre} \quad [d_i^\vee, -]^{1-(\alpha_i, \alpha_i)} (d_j) = 0 \\ \text{si } (\alpha_i, \alpha_i) = 0 \text{ ou } (\alpha_i, \alpha_i) = 2.$$

Caractéristiques : Trichotomie pour les racines simples  $\alpha_i$

$$\textcircled{1} \text{ réelles: } (\alpha_i, \alpha_i) = 2$$

$$\textcircled{2} \text{ isotropes: } (\alpha_i, \alpha_i) = 0$$

$$\textcircled{3} \text{ hyperboliques: } (\alpha_i, \alpha_i) < 0.$$

imaginaires

Beaucoup de résultats connus pour les algèbres de Lie semi-simples / KN

s'étendent:  $\mathfrak{o}_{\mathfrak{g}} = \mathfrak{so}_{\mathfrak{g}} \oplus \mathfrak{g} \oplus \mathfrak{trig}$  décomposition triangulaire  
engendrée par  $\mathfrak{g}$  avec relations de Serre

Exemples de GKCM :

$\mathcal{Q}$  carquois (boucles autorisées)

$$\mathfrak{g} = \mathbb{Q}^{\mathcal{Q}_0}$$

$$(d, e) = \chi_{\mathcal{Q}}(d, e) + \chi_{\mathcal{Q}}(e, d) = 2 \sum_{i \in \mathcal{Q}_0} \delta_{ei} - \sum_{a \in \mathcal{Q}_1} \left( \begin{matrix} d_{s(a)} & d_{t(a)} \\ d_{t(a)} & d_{s(a)} \end{matrix} \right).$$

forme d'Euler symétrisée du carquois

①  $\mathcal{Q}$  sans boucles.  $\phi_f = \mathcal{Q}_0$   $h_i = 1_i$   $\mathfrak{g}_i = \mathbb{Q} = \mathbb{Q} \alpha_i$   
 $\mathfrak{o}_{\mathfrak{g}} = \mathfrak{o}_{\mathcal{Q}}$  est l'algèbre de KM de  $\mathcal{Q}$ .

②  $\mathcal{Q} = \bullet$   $(-, -) = 0.$

$$\phi_f = \mathbb{Z}_{\geq 1} \subset \mathbb{Q} = \mathfrak{g}$$

$$g_n = \mathbb{Q}[z] \quad n \geq 1$$

$\mathfrak{o}_{\mathfrak{g}} = \text{Heis}_{\mathbb{Q}}$  algèbre de Heisenberg, qui agit sur les schémas de fibres de points dans  $\mathbb{C}^2$ .

#### ④ Le caractère et la structure de l'algèbre BPS

Théorème (DHS)  $BPS_{\mathbb{M}_{\alpha}} \cong \cup(\tilde{\mathcal{H}}_{\alpha}^+)$  où  $\tilde{\mathcal{H}}_{\alpha}^+$  est la partie positive d'une GKM engendrée par  $\text{IH}(\mathcal{M}_{\alpha})$ .

[description explicite par générateurs et relations]

- $\phi_+ = \text{racines } \geq 0 \text{ de } \alpha$ . [combinatorial definition]
- réelles :  $g_d = \alpha$  si  $d = 1_i$ ,  $i \in Q_0$  et pas de boucles en  $i$ .
- isotropes :  $g_d = \text{IH}(\mathcal{M}_{\mathbb{M}_{\alpha}, d})$  si  $d$  iso,  $d = dd'$  et d'indivisible.
- hyperboliques :  $g_d = \text{IH}^*(\mathcal{M}_{\mathbb{M}_{\alpha}, d})$  si  $d$  hyperbolique.
- $\alpha_g = \text{GKM engendrée par } \bigoplus_{d \in \phi_+} g_d$ .

$$\begin{aligned} \tilde{\mathcal{H}}_{\alpha}^+ &\text{ est } \mathbb{N}^{Q_0} \times \mathbb{Z}-\text{graduée} \\ * \quad \sum_{m \in \mathbb{Z}} \dim \tilde{\mathcal{H}}_{\alpha}^+[d, m] q^m &= A_{\alpha, d}(q). \end{aligned}$$

## Caractère de $\tilde{r}_\alpha^+$

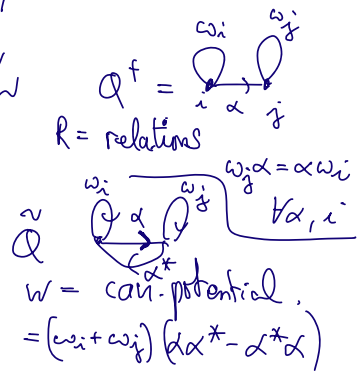
$$A_{Q,+}(q) = \# \overset{\text{naive}}{\mathcal{E}} \text{ repr. abs indec de } Q/F_q \mathcal{Y}/_n \quad Q = \bullet \rightarrow \bullet$$

$$= \# \text{ champs } \{ \text{repr abs indec } FQ^+/R \mathcal{Y}/_n \}$$

$$\approx H^0(\mathcal{M}(Q^+/R))$$

$$\text{red. dim} \approx H(\mathcal{M}(Q), \phi_{Tr(\tilde{w})})$$

$$\text{red. dim} \approx H(\mathcal{M}(Q))$$



$$\Rightarrow \underset{\text{Cham (Davison)}}{A_{Q,+}(q)} = \sum_{m \in \mathbb{Z}} \dim(\tilde{r}_{\alpha^+}^{+,[d,m]}) q^m.$$

La démonstration de  $BPS_{\mathcal{M}_Q} \cong \mathcal{V}(\tilde{r}_\alpha^+)$  repose sur trois ingrédients essentiels :

- [1] Le théorème du voisinage pour les catégories 2CY ] Davison
- [2] Le théorème de décomposition pour  $JH: \mathcal{M}_{\mathcal{M}_Q} \rightarrow \mathcal{M}_{\mathcal{M}_Q}$  ] Davison
- [3] La description de la top-Coha strictement semiunipotente pour un carquois arbitraire. [H.] .